

# 石羊河流域

## 水环境演化与水资源可持续利用

马金珠  
朱中华 著  
于保静



国家自然科学基金  
香港乐施会基金 资助出版

# 水石羊河流域水环境演化与 水资源可持续利用

于朱马  
保中华  
静金珠

著

X143  
M1



兰州大学出版社  
LANZHOU UNIVERSITY PRESS

**图书在版编目(CIP)数据**

石羊河流域水环境演化与水资源可持续利用/马金珠,  
朱中华,于保静著.—兰州:兰州大学出版社,2005.10  
ISBN 7-311-02666-0

I. 石... II. ①马... ②朱... ③于... III. ①流域—水  
环境—演变—研究—甘肃省 ②流域—水资源—资源利用—  
研究—甘肃省 IV. ①X143 ②TV213.9

中国版本图书馆 CIP 数据核字(2005)第 111908 号

**石羊河流域水环境演化**

**与水资源可持续利用**

马金珠 朱中华 于保静 著

兰州大学出版社出版发行

兰州市天水南路 222 号 电话:8617156 邮编:730000

E-mail: press@onbook.com.cn

<http://www.onbook.com.cn>

兰州大学出版社激光照排中心排版

兰州德辉印刷有限责任公司印刷

开本: 787×1092 1/16 印张: 14.25

2005 年 10 月第 1 版 2005 年 10 月第 1 次印刷

字数: 366 千字 印数: 1~1000 册

ISBN7-311-02666-0/X·6 定价: 25.00 元



马金珠，男，中共党员，1968年6月出生，甘肃静宁县人，博士后。1991年兰州大学水文地质与工程地质专业毕业，获学士学位，1994年获硕士学位，1999年获博士学位，2000—2002年兰州大学地理学博士后流动站与李吉均院士、陈发虎教授合作研究。曾于2000年、2001年先后在英国伦敦大学学院（UCL）、英国地质调查局(BGS)、英国水文研究所(IH)等机构访问学习。现任兰州大学资源环境学院教授，西部环境教育部重点实验室学术骨干，中德干旱研究中心核心成员，中国自然资源学会干旱半干旱资源研究委员会副秘书长，国际水文学会与水文地质家协会会员。长期从事干旱区水文水资源与环境的教学与科研工作。2004年被评为兰州大学优秀函授教师、兰州大学社会实践优秀教师。主要研究方向为干旱区水文与环境变化、地下水地球化学、同位素水文学以及包气带水文气候学等。目前主持的项目有国家自然科学基金项目“沙漠水文气候的包气带记录与2ka来降水重建（40302031）（2004—2006）”、香港乐施会基金项目“石羊河流域红崖山水库污染治理指导（2004—2005）”、香港乐施会基金项目“甘肃民勤绿洲沙漠化防治与生态扶贫（第二负责人）（2003—2006）”、中英合作项目“石羊河流域地下水管理需求研究（2005—2008）”等；参加国家重点基础研究发展规划973项目“中国北方沙漠化过程及其防治研究(G2000048701)”和“干旱环境形成演化研究（G1999043501）（2000—2005）”等10余项课题。在国际国内期刊发表学术论文35篇，出版专著2部。



朱中华，女，汉族，1972年12月出生，甘肃静宁县人。1995年毕业于华北水利水电学院，获学士学位。2003年西安理工大学获工程硕士学位，现就职于甘肃省水利水电学校，主要从事水利水电工程、水资源等方面的教学与科研工作。1999年获甘肃省水利水电学校园丁奖，2000年获教育研究奖。曾参加甘肃省“‘引大工程’地表水与地下水联合调度”、“河西走廊水资源合理开发利用”、“石羊河流域水环境演化”等课题的研究工作，在《兰州大学学报》（自然科学版）、《干旱区资源与环境》等刊物上发表学术论文10余篇。



于保静，女，汉族，1963年6月出生，河北肃宁县人。1981年6月参加工作，1999年（在职函授）大学毕业。1981年至1990年在武威地区灌溉试验站工作，任技术员。1991年至今在武威市水利科学研究所工作，任工程师；武威市水利学会副秘书长。一直从事水利科技管理、科研推广、科普宣传工作。2003年被评为“武威市优秀妇女干部”，2004年被评为“武威市优秀党务工作者”。负责或作为技术骨干参加完成的4项成果分别获甘肃省水利科技进步一、二等奖；在学术期刊发表论文7篇。

## 前 言

高寒砾石层，冲积带中含盐量较高的砾石带普遍分布于山麓冲积带和山麓洪积带，砾石带与冲积带的分界线大致与山麓地带的年降水量200mm等值线相吻合。

石羊河流域地处河西走廊，是甘肃省河西内陆河流域中人口最多、经济较为发达的地区之一，也是我国内陆河流域开发最早、生态环境恶化最严重的地区之一。流域下游的民勤县北、东、西三面被巴丹吉林沙漠和腾格里沙漠包围，成为保护河西走廊的一道屏障。近几十年来，由于人口增加及水资源不合理开发等诸多因素的影响，流域内经济社会发展大大超过水资源承载能力，水资源开发利用率达到154%，生态系统遭到极大破坏。沙漠每年以15~20m的速度向绿洲推进，石羊河流域也因此成为当今社会普遍关注的焦点。温家宝总理曾6次作出重要批示：“决不能让民勤成为第二个罗布泊。”亲切的关怀、深深的嘱托，引起了社会各界对石羊河流域生态环境建设的广泛关注和支持。甘肃省委书记苏荣、省长陆浩也多次深入民勤沙漠边缘调查研究，并指出民勤的沙漠化不是孤立的，而是同整个石羊河流域的水资源和生态息息相关的。苏荣同志强调：“治理民勤的生态环境，归根到底是树立和落实科学发展观的问题。石羊河流域水资源和民勤生态环境的变化，从一个侧面再次证明了科学发展观思想的无比深邃和正确，它为我们解决前进道路上的各种矛盾和困难提供了强大的思想武器，也为我们治理民勤生态环境提供了科学的世界观和方法论。我们一定要以科学发展观为指导，统筹人口、资源、环境同经济社会的协调发展，把治理与发展有机结合起来，遵循自然规律和经济规律，努力走出一条经济持续发展、资源永续利用、人与自然和谐相处的发展路子，从根本上扭转石羊河流域水资源与民勤生态恶化的趋势。”

西部大开发战略的实施、总理的嘱托和省委省政府的关注，为石羊河流域生态环境综合治理与区域经济发展带来了难得的机遇。国家与省政府组织实施了一系列研究计划，其中重要的有“七五”地质矿产部重点科技攻关项目“西北地区地下水评价及合理开发利用研究”，“九五”国家重点科技攻关项目“西北地区水资源合理开发利用与生态环境保护研究”等，作者有幸参加与主持了多个有关石羊河流域水资源研究的课题，特别是在做博士后期间参加了由李吉均院士主持的国家自然科学基金重点项目“河西地区人地关系演化研究”，和由陈发虎教授主持的中英合作项目“民勤盆地水资源可持续开发评价研究”，为系统掌握石羊河流域水资源特别是地下水方面第一手资料创造了良好的条件，并得益于李吉均院士和陈发虎教授的启发、指导和帮助。通过与英国著名水文地质学家W. M. Edmunds教授的合作关系，利用英国地质调查局(BGS)先进的试验平台进行水化学与同位素测试，通过博士后基金项目“腾格里沙漠包气带古气候记录研究”掌握了干旱区地下水补给历史研究的新方法和2000年来沙漠平原气候记录研究的新思路，同时也顺利完成了博士后研究报告。后来主持的国家自然科学基金项目和香港乐施会基金项目“石羊河流域红崖山水库水污染治理”进一步研究了流域水化学、水环境演化过程，探讨了水污染发生的机制和原因。所有课题研究过程中非常重视研究生的培养工作，先后有8位博士生、硕士生参加了研究工作，目前已

经有4位硕士顺利毕业。本书正是在第一作者博士后出站报告与朱中华、赵华、魏红和朱高峰四位研究生毕业论文基础上总结完善的一部综合反映石羊河流域水资源与水环境状况的专著。

全书总共七章，第一章从地质构造、地形地貌、大气环流、气候条件等方面介绍了石羊河流域水资源形成的基本条件，详细阐述了流域水文水系特征与生态环境结构；第二章简要回顾了石羊河流域自晚更新世以来气候环境演变与尾闾湖泊变迁的主要研究成果，并从水利工程建设发展史、绿洲演变等方面揭示了历史时期人类活动与河流水系变迁的相互关系；第三章揭示了流域地下水基本动态特征，运用地下水模拟软件 MODFLOW 对民勤盆地地下水系统进行了现状模拟与未来变化趋势预测；第四章研究了流域地表水地下水化学分带的基本特征，对民勤盆地地下水化学演化进行了模拟，并应用环境同位素与包气带地球化学探讨了区域地下水补给的历史、年龄以及补给环境；第五章在调查流域水污染源的基础上，对流域水环境质量进行了评价，探讨了流域水环境恶化的机制与原因；第六章在介绍流域水利工程建设与流域水资源开发利用的现状与问题基础上，探讨了干旱区地下水脆弱性的特征与评价方法；第七章概要介绍了水资源可持续开发利用与管理的概念，分析了我国流域水资源管理与国际发达国家的差别，重点阐述了流域水资源合理配置的目标与任务，并以民勤盆地为例探讨了干旱区水资源承载力研究的方法。全书由马金珠、朱中华、于保静统稿。

在项目研究与书稿编写过程中,涉及许多前人的研究成果,甘肃省国土资源厅、甘肃省地矿局水文地质二队、甘肃省水文水资源勘察局、甘肃省水利水电勘查设计研究院、石羊河流域管理局、武威市水利局和武威市环保局等单位给予了大力支持,提供了相关的最新研究成果和监测资料,才使本书能够顺利完成。特别是石羊河流域管理局沈清林局长,武威市水利局石培泽副局长,水文地质二队马富存队长,民勤县扶贫办公室沈首主任等给予了极大的帮助;陈发虎教授、高前兆研究员、张惠昌教授始终关心着作者的研究进展,并不断指导;南忠仁教授、颉耀文副教授、李丁副教授、魏国孝副教授、俄有浩博士等在项目完成与书稿编写过程中不断输入新的思路。李常斌博士、王雄狮博士、李相虎硕士、黄天明硕士、丁贞玉硕士参加了野外工作、室内试验与成果分析总结工作,在此表示由衷的感谢。兰州大学出版社敬兆林主任、郝可伟、李晓瑞、朱庭环为本书的编辑、排版、校对和出版付出了辛勤的劳动,在此一并致谢。

由于作者水平有限，书中错误和缺点在所难免，欢迎广大读者不吝赐教和指正。謹此敬  
固脾試士斟端亦是限制，謹此而望海裕資本財團年來支持了赫士氏研奉幸告朴，半  
味，“我預計熊系失誤入因故西下”日興為重金基金株式自蒙國財林主士的林吉冬由乙岐參  
本舞草歷長，“我預計半基升起林頂而資本財益難用“日興朴合英中的林主對 作者最初由  
味士酒供吉季于益群井，朴茶師徒身丁並附林資子一震而衣木丁興吳國林報 2005 年 6 月  
函外達 ebnumbE M .W 當學竟故文木水養國英昌立飯。如帶味易跡，或自怕外達數家相  
士對丘飯，為吃素共同民革卦水林卦合平卦卦首攝表(20H)得壹微貴國英俱缺，永矣卦合  
衣添師說和支氣余休水丁與因旱干丁卦掌“次祿最占卦尹吉帶尹山東恐里卦觀”日興金基以  
來訊。若卦次祿卦士對丁效家味融少相同，報恩傳帕茨麻最5卦弄氣平鄭如米半 000E 味者  
“堅坐乘西水率木山崖立故無卦年正”日興金基金会盛承恭香味日興金基金株式自蒙國財林主  
孤頭斯南視。因恩味歸財卦主之樂卦木丁卦卦，卦註外財聲眾水，若卦水則卦丁次祿重當非中錄拉虎  
凹面目，卦工矣冊丁岐參圭士願，圭士對卦 8 有司決，卦工奏卦帕圭次祿重當非中錄拉虎

## 目 录

第一章	流域自然条件	(1)
1	地理位置与行政区划	(1)
2	地形地貌	(1)
3	大气环流与气候	(3)
4	水系与水文特征	(11)
5	国土资源	(24)
6	土壤	(26)
7	植被	(28)
8	区域地质概况	(31)
9	生态环境	(34)
10	社会经济	(36)
第二章	流域历史环境演变与水系变迁过程	(38)
1	晚第四纪气候环境和自然水系	(38)
2	历史时期人类活动与水系变迁	(42)
3	历代农田水利建设与水系变迁	(46)
第三章	流域地下水水流时空动态特征	(57)
1	水文地质条件	(57)
2	民勤盆地地下水时空分布的数值模拟	(69)
3	区域地下水环境预测	(89)
第四章	石羊河流域水化学演化特征	(100)
1	概述	(100)
2	石羊河流域水化学特征	(103)
3	民勤盆地水文地球化学演化模拟	(111)
4	民勤盆地地下水年龄与补给环境	(122)
5	地下水补给历史	(124)
第五章	石羊河流域水环境质量现状及演化	(135)
1	水污染源调查研究	(135)
2	地表水环境质量及演化	(141)
3	地下水环境演化特征	(146)
4	石羊河流域水污染的主要原因	(151)
5	结论与建议	(155)

<b>第六章 水资源开发利用现状与问题</b>	(157)
1 水利工程建设现状	(157)
2 现状用水	(165)
3 水资源利用中存在的问题	(167)
4 地下水脆弱性特征及评价	(176)
<b>第七章 石羊河流域水资源可持续利用管理</b>	(190)
1 水资源可持续利用与管理概念	(190)
2 流域水资源合理配置浅析	(197)
(1) 3 民勤盆地水资源承载能力分析	(202)
(1) 4 石羊河流域实现水资源可持续利用的途径	(214)
(1)	1
(2)	2
(3)	3
(4)	4
(5)	5
(6)	6
(7)	7
(8)	8
(9)	9
(10)	10
(11)	11
(12)	12
(13)	13
(14)	14
(15)	15
(16)	16
(17)	17
(18)	18
(19)	19
(20)	20
(21)	21
(22)	22
(23)	23
(24)	24
(25)	25
(26)	26
(27)	27
(28)	28
(29)	29
(30)	30
(31)	31
(32)	32
(33)	33
(34)	34
(35)	35
(36)	36
(37)	37
(38)	38
(39)	39
(40)	40
(41)	41
(42)	42
(43)	43
(44)	44
(45)	45
(46)	46
(47)	47
(48)	48
(49)	49
(50)	50
(51)	51
(52)	52
(53)	53
(54)	54
(55)	55
(56)	56
(57)	57
(58)	58
(59)	59
(60)	60
(61)	61
(62)	62
(63)	63
(64)	64
(65)	65
(66)	66
(67)	67
(68)	68
(69)	69
(70)	70
(71)	71
(72)	72
(73)	73
(74)	74
(75)	75
(76)	76
(77)	77
(78)	78
(79)	79
(80)	80
(81)	81
(82)	82
(83)	83
(84)	84
(85)	85
(86)	86
(87)	87
(88)	88
(89)	89
(90)	90
(91)	91
(92)	92
(93)	93
(94)	94
(95)	95
(96)	96
(97)	97
(98)	98
(99)	99
(100)	100
(101)	101
(102)	102
(103)	103
(104)	104
(105)	105
(106)	106
(107)	107
(108)	108
(109)	109
(110)	110
(111)	111
(112)	112
(113)	113
(114)	114
(115)	115
(116)	116
(117)	117
(118)	118
(119)	119
(120)	120
(121)	121
(122)	122
(123)	123
(124)	124
(125)	125
(126)	126
(127)	127
(128)	128
(129)	129
(130)	130
(131)	131
(132)	132
(133)	133
(134)	134
(135)	135
(136)	136
(137)	137
(138)	138
(139)	139
(140)	140
(141)	141
(142)	142
(143)	143
(144)	144
(145)	145
(146)	146
(147)	147
(148)	148
(149)	149
(150)	150
(151)	151
(152)	152
(153)	153
(154)	154
(155)	155
(156)	156
(157)	157
(158)	158
(159)	159
(160)	160
(161)	161
(162)	162
(163)	163
(164)	164
(165)	165
(166)	166
(167)	167
(168)	168
(169)	169
(170)	170
(171)	171
(172)	172
(173)	173
(174)	174
(175)	175
(176)	176
(177)	177
(178)	178
(179)	179
(180)	180
(181)	181
(182)	182
(183)	183
(184)	184
(185)	185
(186)	186
(187)	187
(188)	188
(189)	189
(190)	190

# 第一章 流域自然条件

## 1 地理位置与行政区划

石羊河流域位于甘肃省河西走廊东部，祁连山北麓，东经 $101^{\circ}41' \sim 104^{\circ}16'$ ，北纬 $36^{\circ}29' \sim 39^{\circ}27'$ ，东南与白银、兰州两市相连，西南紧靠青海省，西北与张掖地区毗邻，东北与内蒙古自治区接壤，流域面积 $4.16 \times 10^4 \text{ km}^2$ ，流域行政区划包括武威市的凉州区、古浪县、民勤县全部及天祝县部分、金昌市的永昌县及金川区全部以及张掖市肃南裕固族自治县部分共3市7县(区)，总人口223万人。

## 2 地形地貌

石羊河流域地处黄土、青藏和蒙新三大高原的交汇过渡地带，位于河西走廊东段，以高山、中高山、低山丘陵、沙漠、冲洪积平原构成全流域地貌形态，地势南高北低自西南向东北倾斜。

### 2.1 祁连山区

流域南部的祁连山区，由南东—北西向的高山、中高山组成，海拔高度 $2700 \sim 4500\text{m}$ ，祁连山东段以冷龙岭为主峰，向东延伸经牛头山、雷公山、乌鞘岭、毛毛山，成为黄河与内陆河的分水岭；向西接连大黄山、合黎山，成为黑河水系与石羊河水系的分水岭。祁连山主峰冷龙岭海拔 $5254\text{m}$ ，雪线 $4200\text{m}$ 以上有现代冰川分布，可见冰斗、冰槽谷等明显的冰蚀地貌。雪线以下山坡陡峭，岩石裸露，河网密布，多呈U字形沟谷，其中 $2700 \sim 3500\text{m}$ 有原始森林植被覆盖，涵养水源，该区是流域地表水资源主要的产流区。在海拔 $1800 \sim 2500\text{m}$ 之间，是南部山区的前山地带，有低山丘陵、山间盆地和山前小平原。主要有皇城滩、毛藏滩、祁连旦玛、东、西大滩等草原地带及浃翔、张义堡、四沟嘴、石关、西山堡、龙沟、黄羊川、团庄川等山间盆地和川台地的农耕地带。

### 2.2 北部荒漠区

包括凉州区东部和东北部的八十里大沙和二十里大沙，古浪县北部的沙漠区，民勤县境内周边的沙漠及境内四周的低山丘陵，海拔在 $1020 \sim 2000\text{m}$ 之间。沙漠大部分为流动沙丘，少部分为固定沙丘和半固定沙丘，沙漠区海拔多在 $1300 \sim 1600\text{m}$ 之间。山地为剥蚀的续断岛状低山，海拔多在 $1500 \sim 1700\text{m}$ 之间，没有陡峻的山峰，多为缓平的山坡，唯其抱疙瘩山海拔达 $1936\text{m}$ ，由于毗邻巴丹吉林和腾格里两大沙漠，风沙地貌明显，没有植被，流沙的移动使山丘呈剥蚀沟槽状，严重地威胁着绿洲的生存。

在西部合黎山余脉，有受外力作用影响而形成的剥蚀低山、丘陵、断续绵延的山脉。北

缘有抱疙瘩山、独青山、马莲泉山、毛条山、菜菔山和红山等，横贯北部，构成连续起伏的剥蚀低山丘陵，为巴丹吉林大沙漠的天然屏障；南部有龙首山东延余脉馒头山、红崖山、阿拉古山、青山、头道山等，呈条带状断续展布，横贯东延之阿拉善左旗交界的二道山，海拔在1470~1860m之间。诸山高差相对较小，一般在100~200m。在中部孤立分布的有苏武山、狼刨泉山、枪杆岭山等剥蚀低山丘陵，海拔高度约为1400m，相对高差最大仅有50~60m。

### 2.3 中部平原区

祁连山山前绿洲平原区，是河西走廊平原的重要部分，东起古浪的大靖、土门，中为武威山前平原，西到永昌县的水磨关，以及民勤县的平原地带，为石羊河流域的精华之地，是主要的绿洲灌溉区。海拔在1400~2500m之间，地处石羊河流域各条河流的中、下游，是古河流

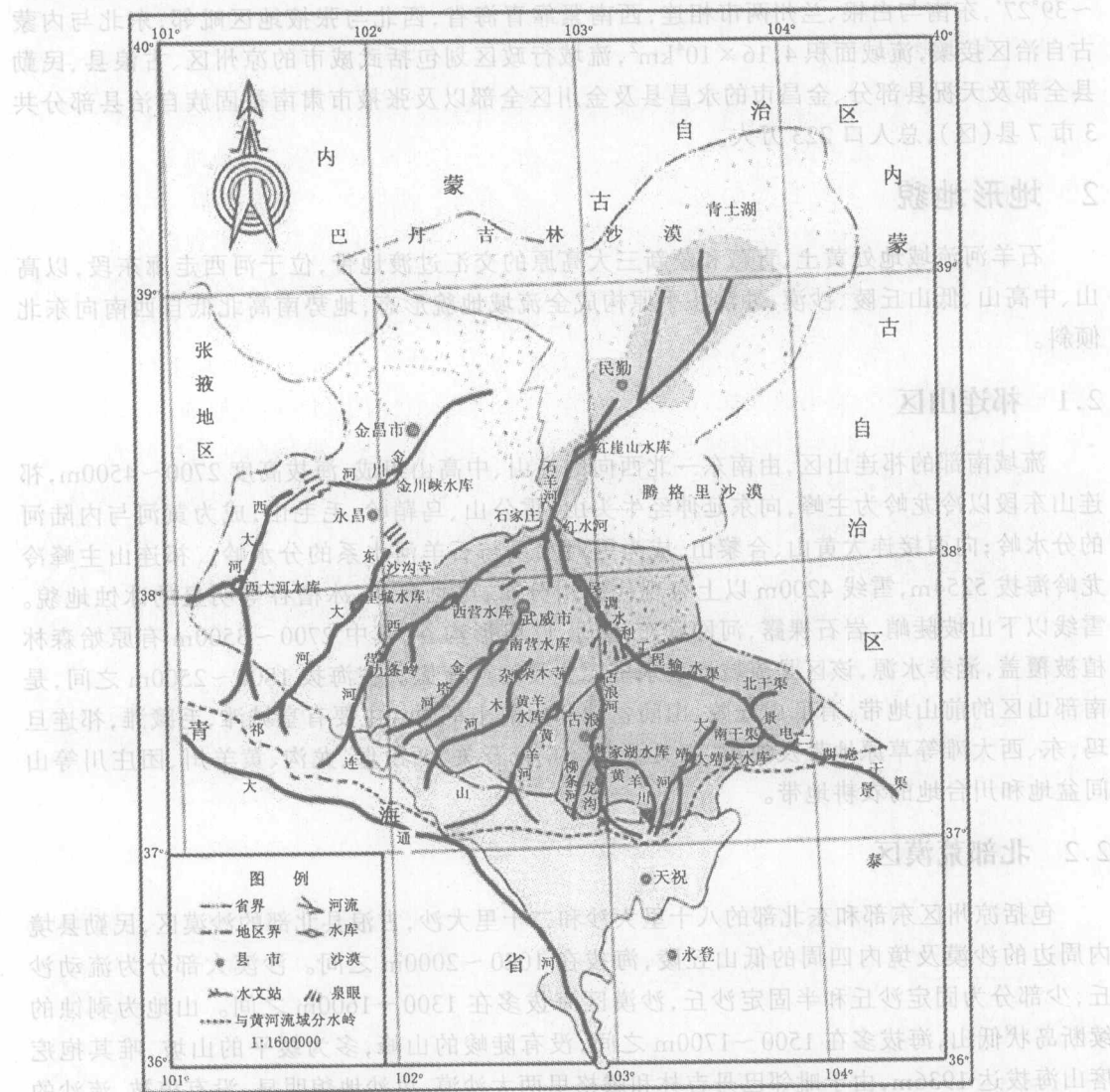


图1-1 石羊河流域水系示意图

中冲积洪积扇群相连结组成的范围广阔的冲积平原，地形平坦，除民勤洪积戈壁平原外，土壤肥沃，在绿洲农业发展史上，开发最早、经营最久，是绿洲灌溉农业基地；是历史上人烟稠密、经济发展快的富庶区。分布着古浪县、凉州区、永昌县城及众多乡镇，是政治、经济、文化中心。凸起于中部的韩母山、红崖山、阿拉古山把平原区分为南北两部分，南部称武威盆地，北部称民勤盆地和昌宁盆地。南盆地海拔1400~2500m，由南西向北东倾斜，地面平均坡降5%~9%，除盆地边缘为中低山外，其余大面积地区为洪积平原、戈壁沙漠和冲积湖积平原等地貌景观；北盆地海拔1300~1500m，最低点白亭海海拔仅1020m，地形平坦，地面平均坡降1%，形成冲积平原、湖沼平原和低山丘陵、沙漠景观。

### 3 大气环流与气候

#### 3.1 大气环流

石羊河流域大气环流体现了整个西北干旱区的大气环流特点，石羊河流域高空受中纬度西风环流控制，近地面则受季风环流影响。由于石羊河流域与青藏高原毗邻，其大气环流和气候特征明显受到青藏高原的影响。冬季，受蒙古—西伯利亚高压控制，流域盛行冬季风；而高原主体对西风环流的动力阻塞作用，在高原北侧形成西风急流，出现高压带，高压脊位于南疆、河西至兰州一线，正好控制石羊河流域地区。可见，冬季西风急流、冬季风、高原冬季风和高原北侧的高压带相互作用，使这一地区冬季气候更加寒冷干燥。夏季，青藏高原的热力作用增强，高原主体的热低压和高空青藏高压的建立，形成了高原夏季风，并促使西风环流减弱，南支急流迅速北撤，诱发了西南季风的暴发和增强，同时也加强了东南季风的势力；冬季，控制石羊河流域的高原北侧高压脊北移，以及蒙古—西伯利亚高压减弱，使得东南季风、西南季风以及高原夏季风均能影响到石羊河流域，但由于石羊河流域地处西北内陆，夏季风势力已大大减弱，东南气流和西南气流所携带的水汽已大为减少，形成的降水有限。因此，石羊河流域气候主要表现为大陆性气候特点，石羊河流域上游的祁连山北麓为凉温带半干旱气候，中下游的武威、民勤盆地属温带干旱气候。各亚区气候特征值见表1-1。

表1-1 石羊河流域各亚区气候特征值

分区	年平均气温 (℃)	相对湿度 (%)	蒸发量 (mm)	降水量 (mm)	降水天数 (d)	日照时数 (h)
南部高寒干旱 半湿润亚区	0~5	46~58	720~1200	340~650	>80	2553~2700
中部温凉干旱亚区	5~8	45	200~2200	160~340	50~80	2700~3000
北部温暖干旱亚区	>8	30~45	2200~2640	<150	<50	>3000

#### 3.2 光能

年日照时数在平原地区，地表呈半荒漠与荒漠景观，植被稀疏，气候干燥，空气湿度小，阴云天少，全年实际日照时数长达2730~3030h，日照百分率为62%~68%，为日照最多的地方之一。日照时数和日照百分率随着海拔高度的增加而逐渐渐少，山麓地带（海拔1800

~2000m)年日照时数为2630~2880h,日照百分率为59%~65%;中、低山区日照时数为2570~2660h,日照百分率为58%~60%。日照时数的年内变化以平原区和山麓地带的6月最多,2月最少;中低山区(海拔2000m以上)以12月份最多,9月份最少。

石羊河流域平原地区年太阳总辐射量是133~138kcal/cm<sup>2</sup>(表1-2),由于云量增减,年辐射总量随之增减。随着海拔高度的增加而变化,山麓地带和中低山区为127~130kcal/cm<sup>2</sup>,比平原区减少5%~6%。但中、低山区冬季高,月辐射量接近平原区。月辐射量最大值各地都出现在5、6月份,最小值则出现在1、12月份,最高可达15.8kcal/cm<sup>2</sup>(凉州区),最低为6.75kcal/cm<sup>2</sup>(民勤县)。植物在光合作用过程中只能吸收太阳辐射能的可见光部分,其波长在0.38~0.71nm之间,称为植物的生理投射或光合有辐射,约占太阳总辐射的一半。气温在0~10℃之间的生理辐射,平原区为44~46kcal/cm<sup>2</sup>,山麓地带为37~39kcal/cm<sup>2</sup>。

表1-2 全年太阳辐射量和生理辐射量表(kcal/cm<sup>2</sup>)

项目	武威站	民勤站	古浪站
总辐射量	138.45	137.307	127.991
生理辐射	67.84	67.281	62.715

### 3.3 热能

石羊河流域多年平均气温在空间分布上表现为流域的中下游地区高于上游地区。平原地区大部分年平均气温在7~8℃;山麓地区年平均气温在5℃左右;中、低山区约为0~4.5℃,沿沙漠地区最高可达8.2℃,深山区最低为-0.2℃。

由于大陆性气候特点显著,年温差、日温差较大。平原区为28~33℃,山麓地带为27~28℃,中、低山区为24~27℃。其中,上游的乌鞘岭站年均气温仅-0.2℃,古浪站为4.9℃,而下游的武威站和民勤站年均气温分别为7.7℃和7.8℃,流域内多年平均气温的月变化呈单峰型,变化趋势较一致,高气温阶段出现在6~9月,低气温阶段出现于11~2月份(图1-2)。

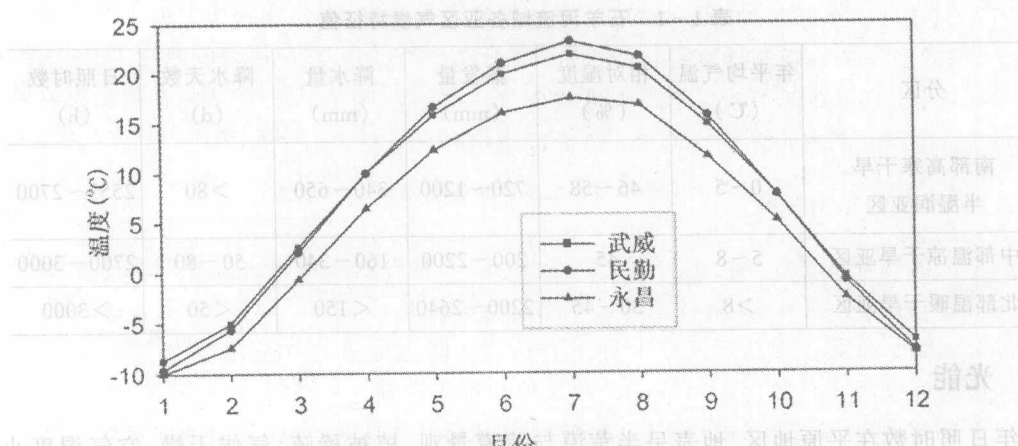


图1-2 石羊河流域历年各月平均气温变化曲线

石羊河流域年积温在平原区最多年份为3800℃左右,最少年份为3300~3400℃,平均值为3500~3650℃;山麓地带最多年份为2770~2800℃,最少年份为2460℃,平均值为2650℃;中、低山区最多年份是1500~2600℃,最少年份为1200~2300℃,平均值为1300~2500℃。

### 3.4 风和沙尘暴

石羊河流域地形复杂,风速受地形的影响,差别较大,流域内大风天气频繁,多为寒潮冷峰过境或高低气压所引起,加之戈壁沙漠、山川峡谷等地形影响,四季多风。大风多集中在3~8月,春季更为集中。大风一般北部多于南部,山区多于平原区,沙漠地带多于平原区。天祝、民勤是风速最大的地区,而且频率较大。多年平均风速达到4.0~4.6m/s,最大风速达到17.5m/s(表1-3)。风向民勤多为东风,西北风次之,凉州区多为西北风,古浪多为南风。刮风天数频率较大,如群众中所传民谣:“一年一场风,从春刮到冬。”“大风起处不见家”。古浪县年风沙日多达182d,浮尘和沙尘暴天气达到13次之多;民勤县年风沙天气达213d,浮尘和沙尘暴天气多达37次之多,给人民生产生活带来很大灾难,在1993年5月5日特大沙尘暴中受到了很大损失。

表1-3 石羊河流域风和沙尘暴历年平均统计资料

	武威	永昌	民勤
平均风速(m/s)	2.0	3.2	2.8
最大风速(m/s)	15.9	18.3	27.8
大风日数(d)	34	26	28
沙尘暴日数(d)	12.2	5.4	37.3

### 3.5 降水

#### 3.5.1 年降水量空间分布

石羊河流域的多年平均降水量较少,而蒸发量较大,空间分布表现为上游地区高于中下游地区,据武威气象站观测计算资料,流域内降水具有明显的垂直分带性,随海拔高度降低,降水量减小,一般每降低100m,年降水量减少20~50mm(图1-3),其中乌鞘岭站多年平均降水量为411.3mm,古浪站为360.7mm,而武威站和民勤站仅有158.4mm和115mm。

#### 3.5.2 降水量的年内分配

石羊河流域降水量在年内的分配悬殊很大,6~9月份的降水量占全年降水量的绝大部分,除古浪约占66%而外,其余各地均占70%以上(图1-4,表1-4)。特别是大部分地区60%以上的降水量集中在7、8、9三个月,8月为全年降水最多的月份,而且各地一日最大降水量和最长连续降水日数( $\geq 0.1\text{mm}$ )的最大值也都集中在这三个月中。中、低山区7~9月的日降水量超过30mm的暴雨,往往在短时间内引起山洪暴涨,造成沿山地区及平原区受到山洪灾害。春季降水量绝大部分地区不到全年的18%。冬季降雪量则更少,大部分地区不到年总降水量的4%。其原因是每年10月至次年6月亚洲东海岸维持准定常的高空槽,河

西走廊东部上空常为槽后西北气流所控制，盛行气流下沉运动，从而造成冬、春雨雪稀少的干旱气候。

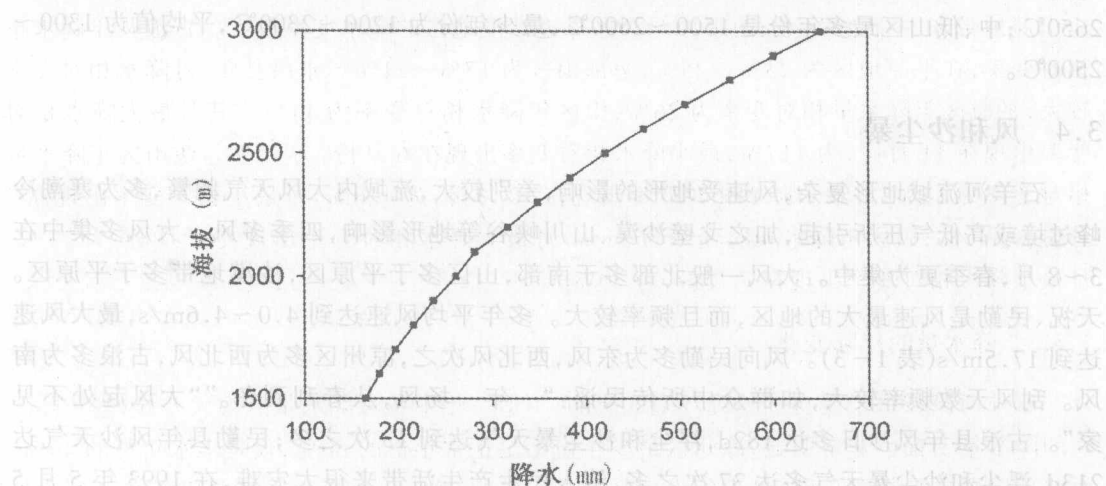


图 1-3 不同海拔高度降水量计算值

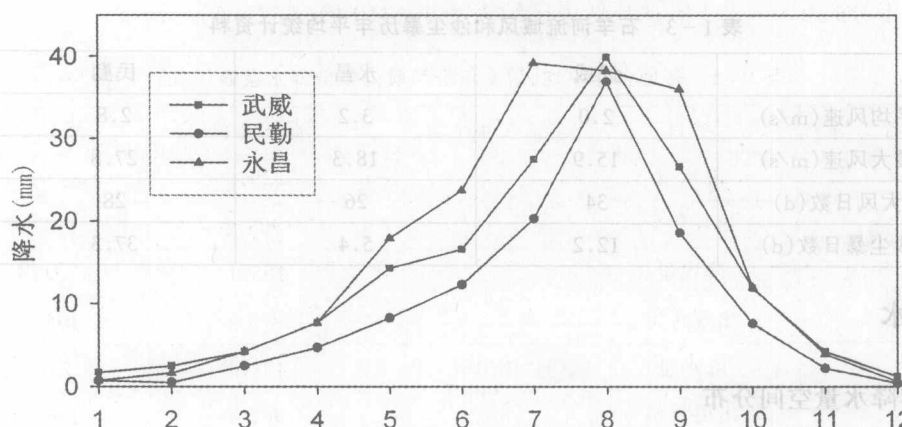


图 1-4 石羊河流域历年各月平均降水量变化曲线

表 1-4 石羊河流域各地年内各时段降水量分配

地名	11~2月		3~5月		6~9月		7~9月	
	降水量 (mm)	占全年 (%)	降水量 (mm)	占全年 (%)	降水量 (mm)	占全年 (%)	降水量 (mm)	占全年 (%)
武威	9.6	6.1	26.2	16.5	110.6	69.8	94.0	59.3
民勤	3.6	3.1	15.5	13.5	88.1	76.6	75.8	65.9
古浪	22.8	6.3	77.2	21.4	236.7	65.5	195.2	54.1
乌鞘岭	13.0	3.2	72.1	17.5	308.1	74.9	246.9	60.0
松山	7.7	2.9	46.8	17.6	198.6	74.8	162.3	61.1

各地月降水量相对平均变率,夏季和秋季较小,冬季和初春较大。年降水量相对平均变率,平原区为22%~24%,山麓地带为15%~17%,中、低山区为19%~21%。平原区相对比山麓地带和中、低山区大,而平原绿洲区靠近沙漠地区的降水变率最大。古浪县年降水量相对变率,在平原地区为23%~25%,南部山区为17%~21%。永昌县年、月降水相对变率较大,平原区年降水量相对变率为26%,山区年降水相对变率为11%。其月最大降水相对变率出现在11月份,为117%;最小降水相对变率出现在6月份,为40%。浅山区年降水量相对变率为15%,月最大降水相对变率出现在12月份,为118%,月最小相对变率出现在7月份,为40%;山区年降水相对变率为11%,月最大降水相对变率出现在1月份,为73%,月最小降水相对变率出现在7月份,为20%。

### 3.5.3 降水量的年际变化

石羊河流域由于受自然地理环境的影响,不但一年中各月降水量有很大差异,其年际之间的降水量变幅也非常明显,凉州区最少年份不足正常年份的60%,仅是丰水年份的40%,而北部民勤更是相差悬殊,最少年份仅是最多年份的20%。沙漠地区最多年降水量可为最少年的4.8倍左右,甚至5倍;其它地区大约也在2.5~3.0倍之间;山麓地区最多年降水量可为最少年份的2.0~2.2倍;中、低山区约为2.4~3.0倍(表1-5)。

表1-5 各地多年平均、最多年份和最少年份降水量表(mm)

地名	项目	多年平均	最多年份	最少年份
武威	降水量	158.4	229.6	91
	出现年份		1968年	1962年
民勤	降水量	115.0	185.1	38.6
	出现年份		1973年	1959年
古浪	降水量	360.7	482.0	244.2
	出现年份		1961年	1962年
乌鞘岭	降水量	411.3	555.2	231.3
	出现年份		1961年	1962年
松山	降水量	265.5	462.5	143.3
	出现年份		1979年	1972年
永昌	降水量	185.1	—	—
	出现年份		—	—
土门	降水量	237.6	361.1	148.5
	出现年份		1968年	1959年

从降水的历史演变情况来看,总的的趋势是自20世纪50年代以来降水量没有明显减少趋势,但丰枯交替出现(图1-5、图1-6、图1-7),中、低山区和中、高山区60年代比50年代相比,降水量减少了11%~13%,70年代又比60年代减少了1%~4%,80年代比70年

代又减少了4%~8%,90年代比80年代又减少了3%~5%。流域年降雨量cv值在0.2~0.4之间,从西南到东北递减,祁连山区最小,为0.2。最大降水量与最小降水量的倍比在降雨稀少的地区比在降雨充沛的山区大。通过对代表性较好的皇娘娘台年降雨量差积曲线(图1-7)分析可以看出:山区降雨量从1956—1995年基本上完成了一个丰平枯的完整循环周期,其中1955—1961年7年为丰水期,1961—1975年13年为枯水期(个别年份稍丰),1975—1985年10年为平水年。平原区代表站武威年降雨量(图1-7)也具有30年的丰平枯完整循环周期,但丰枯时段与山区相反:1955—1963年9年为枯水期,1963—1971年9年为丰水期,1971—1995年平水期与山区及全流域基本对应。石羊河流域降雨量在大周期中又具有明显的连续3年小周期,即连续3年丰水期,接连续3年枯水期,接连续3年平水期。

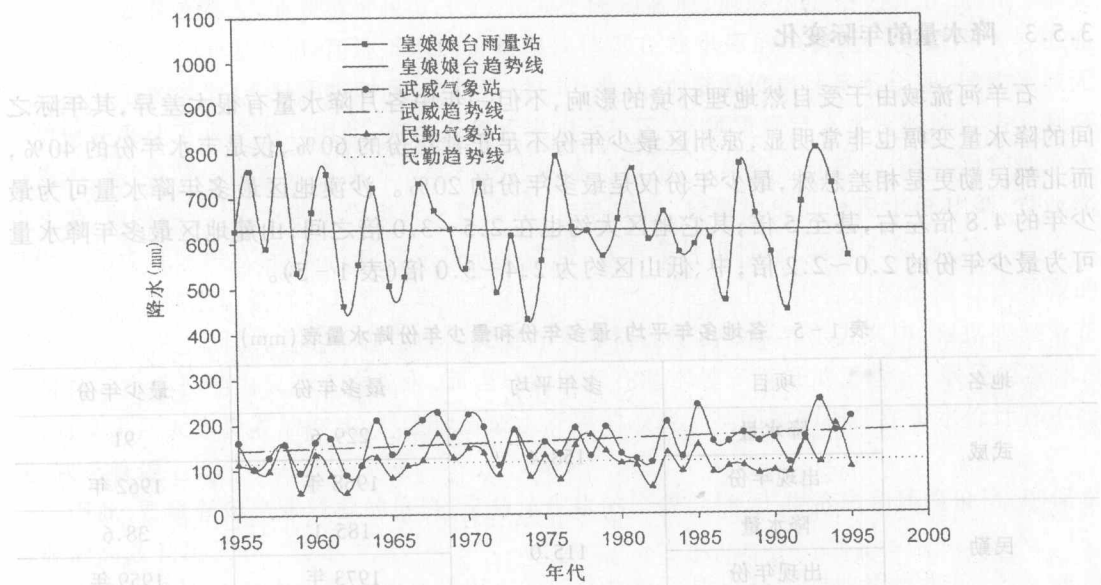


图1-5 石羊河流域皇娘娘台、武威及民勤气象站降雨量过程曲线

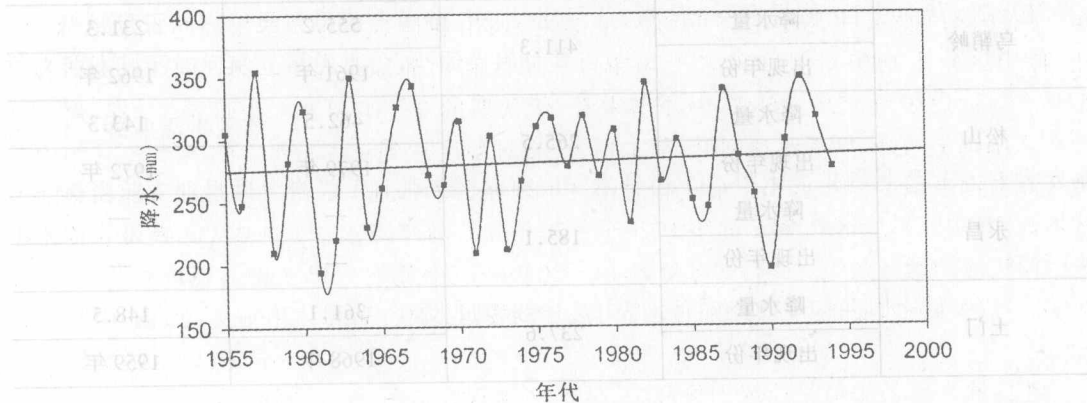


图1-6 石羊河流域40个雨量站多年平均降水量